

# Autenticación de imágenes digitales

Dra. Mariko Nakano Miyatake

ESIME Culhuacan

IPN

# Importancia

Actualmente todas las imágenes son digitales capturadas por cámaras digitales o escáneres. Estas imágenes son usadas para evidencias de hechos, tales como accidentes de automóviles, escándalos políticos entre otros.

Imágenes digitales se modifican fácilmente usando herramientas computacionales (Photoshop, CorelDRAW)



**Necesidad de desarrollar métodos eficiente  
para autenticar imágenes digitales**

# Métodos para autenticar imágenes digitales

1. **Métodos basados en forense digital**

2. **Métodos basados en firma digital**

(Hash criptográfico)

3. **Métodos basados en la técnica de hash perceptual**

(Image Hashing)

4. **Métodos basados en la técnica marca de agua digital**

- **Marca de agua frágil**
- **Marca de agua semi-frágil**
  - Propuesta 1
  - Propuesta 2

# Métodos basados en forense digital

- Cuando ocurre incidente, se analiza algunos artefactos en la imagen para determinar existencia de alteración.
  - Dirección de Luz
  - Dirección de sombra
  - Continuidad de los objetos
- Se puede localizar región donde ocurrió alteración.
- Los métodos no es robusto a compresión de imágenes

# Métodos basados en forense digital

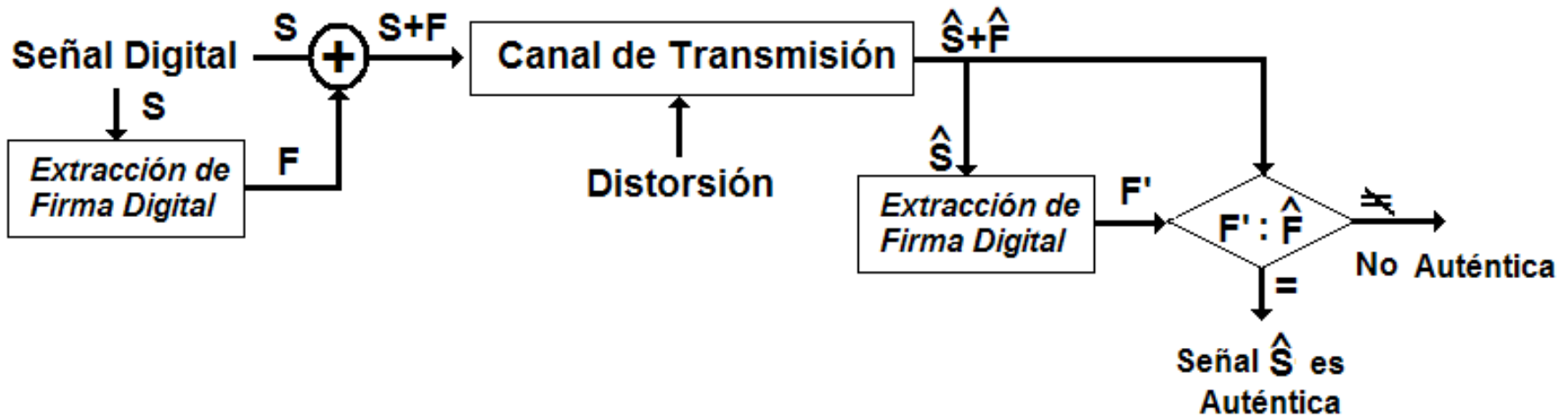
## Ejemplo



Discontinuidad de región donde aparece el rostro  
Tasa de compresión de JPEG es continuo ó no?

# Métodos basados en firma digital (Hash Criptográfico)

- Uso de función hash criptográfico
  - MD5, SHA-1, SHA-256
- Sensible a cualquier cambio



# Métodos basados en firma digital (Hash Criptográfico)

**Imagen en formato bit map**



**MD5 =7b40a69c0d1fa518ef4aa .....**

**Imagen en formato jpeg**



**MD5 =c47da18f4ee320dsa8d.....**

  
**Cambio de formato**

# Características de imágenes digitales

- Existen varios formatos (JPEG, TIFF, PNG, etc.) y la conversión del formato es muy común.
- Generalmente transmite o almacena en la versión comprimida. (JPEG ó JPEG2000)
- La menor distorsión no se percibe por sistema visual humano.

FC=100 8bits/pixel



FC=80 2.5bits/pixel

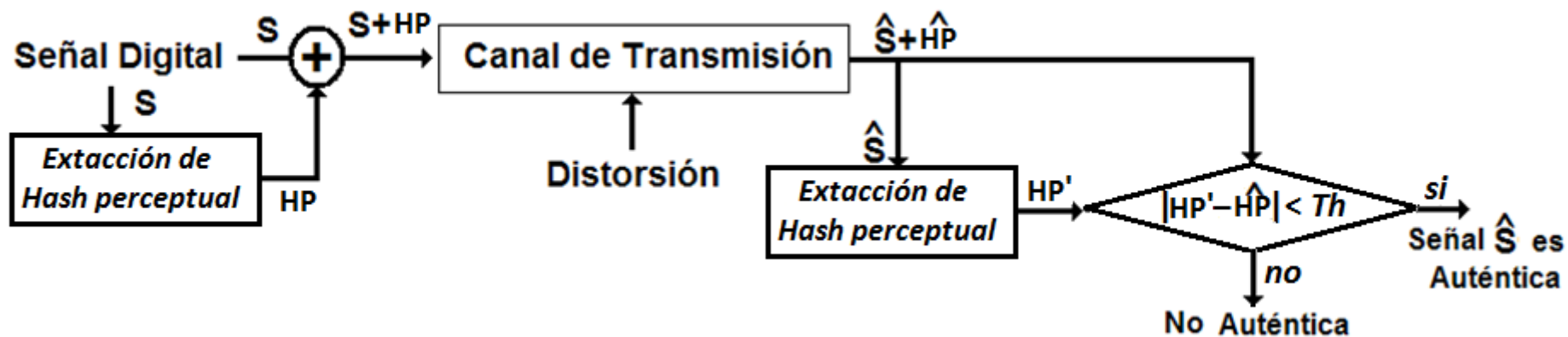


FC=60 0.8 bits/pixel



# Métodos basados en Hash Perceptual

- Esquema es mismo que Hash Criptográfico
- Extrae una secuencia (el código Hash) de la imagen, la cual tiene que ser robusto a compresión y contaminación por ruido.
- El código Hash se transmite junto con la imagen original



# Características de Hash Perceptual

- Las secuencias extraídas (código hash) de dos imágenes similares son muy parecidas.
- Las secuencias extraídas (código hash) de dos imágenes diferentes son muy diferentes.

$$HP(A) \approx HP(A_{comp})$$

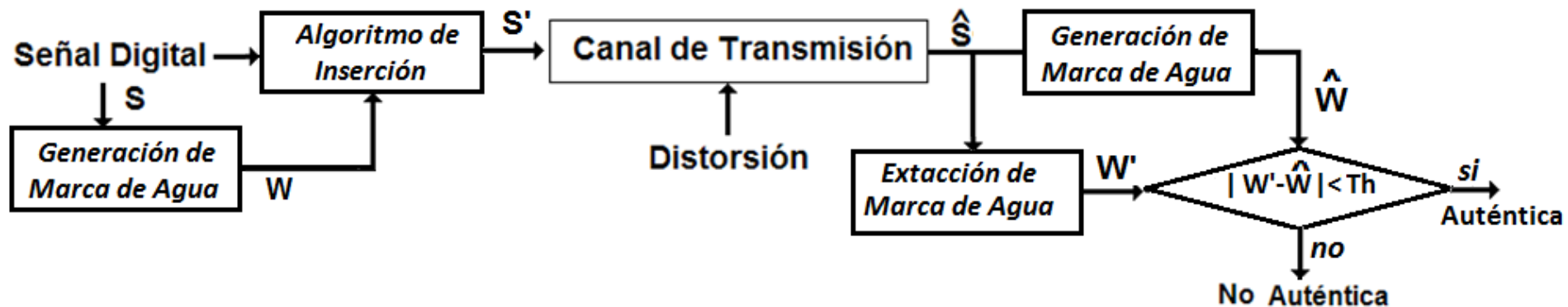
$$HP(A) \neq HP(B)$$

Si  $dist(HP(A), HP(A_{recibido})) < Th$  entonces

$A_{recibido}$  es Auténtica

# Métodos basado en marca de agua

- Extrae una secuencia robusta desde la imagen que quiere autenticar
- La secuencia extraída se inserta dentro de la misma imagen para generar imagen marcada
- La imagen marcada se circula en la red pública



# Marca de Agua Frágil y Semi-Frágil

- Marca de Agua Frágil

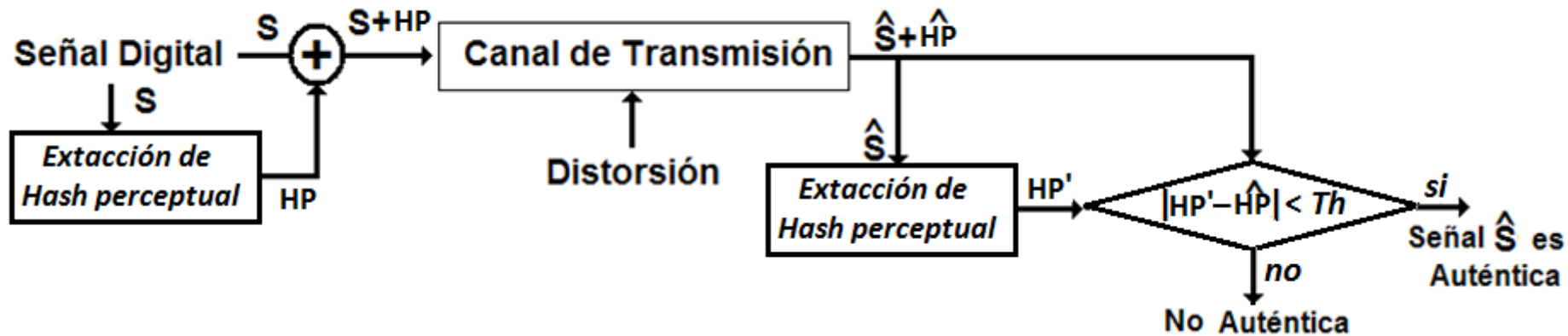
Autenticación completa – Detecta cualquier cambio o modificación.

- Marca de Agua Semi-Frágil

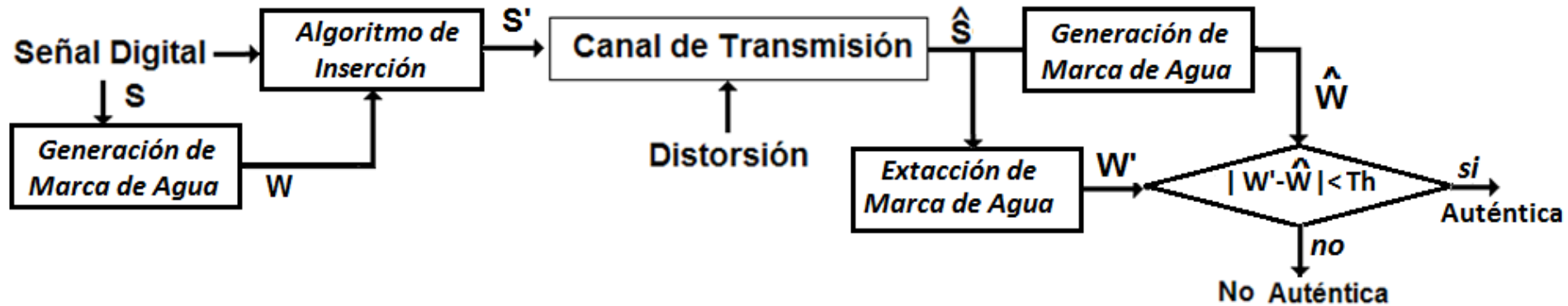
Autenticación de contenido – Detecta cambio de contenido.  
Robusto a procesamiento que no altera el contenido de la imagen, tales como compresión, contaminación por ruido

# Hash Perceptual : Marca de agua

## Hash Perceptual (Image Hashing)



## Marca de Agua (Watermarking)



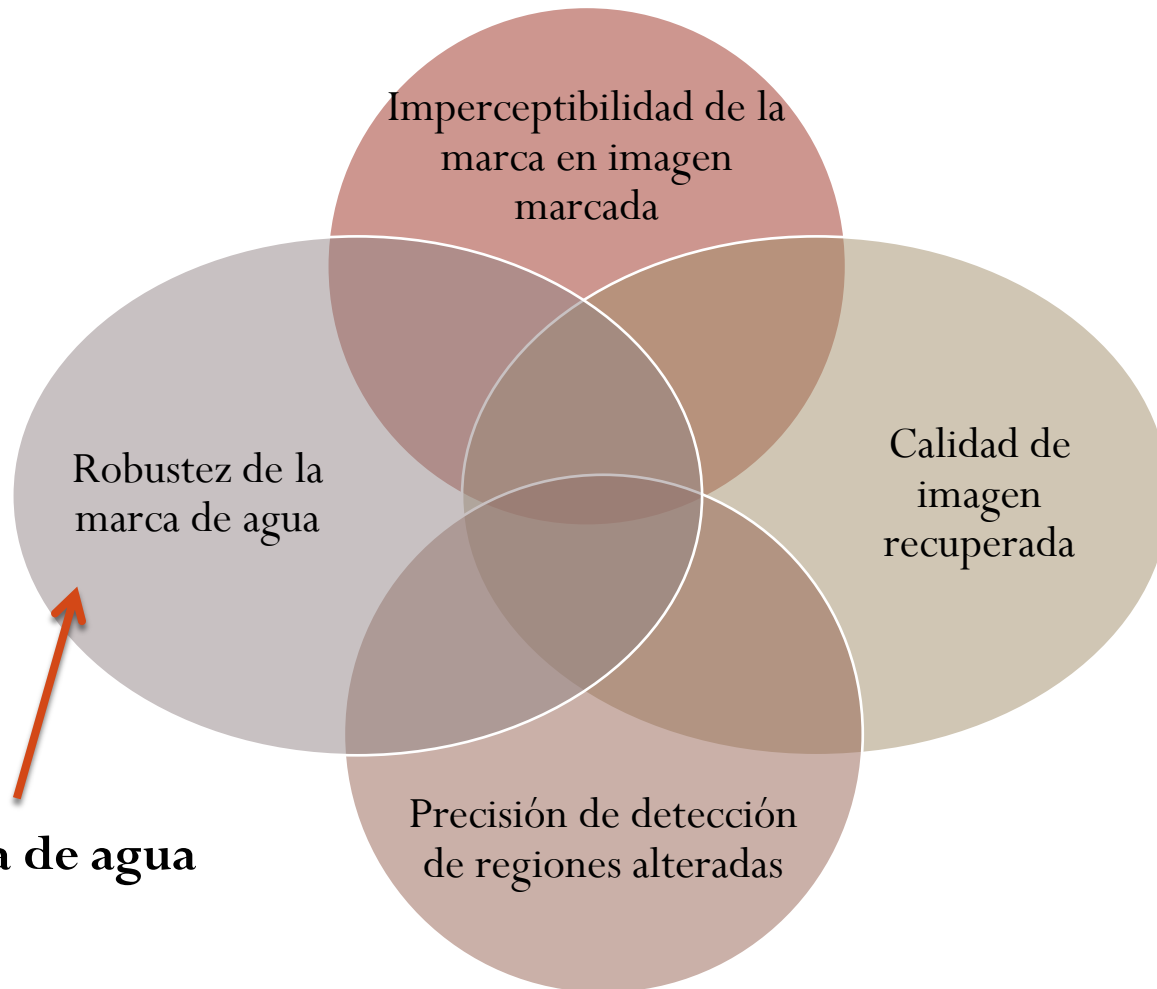
# Hash Perceptual : Marca de agua

	Hash Perceptual	Marca de agua
<b>Ventajas</b>	<ul style="list-style-type: none"><li>• No causa distorsión a la imagen que se transmite</li></ul>	<ul style="list-style-type: none"><li>• No aumenta el ancho de banda en la transmisión</li><li>• Puede recuperar versión original de región alterada</li></ul>
<b>Desventajas</b>	<ul style="list-style-type: none"><li>• Aumenta el ancho de banda en la transmisión</li><li>• No se puede recuperar el contenido alterado</li></ul>	<ul style="list-style-type: none"><li>• Causa distorsión aunque no se percibe por el sistema visual humano</li></ul>

# Comparación de los métodos de autenticación

Métodos	Autenticación (si ó no)	Localización de regiones alteradas	Recuperación de regiones alteradas
Forense digital	✓	✓	X
Hash criptográfico	✓	X	X
Hash Perceptual (Image Hashing)	✓	✓	X
Marca de Agua Frágil	✓	✓	✓
Marca de Agua Semi-Fragil	✓	✓	✓

# Requerimientos de técnica de marca de agua



**Caso de marca de agua  
Semi-Frágil**

# Propuesta 1 :Marca de agua semi-frágil usando la técnica de tono- medio (Halftoning)

## Características

1. Detección precisa de regiones alteradas
2. Uso de técnica de tono-medio (halftoning)
3. Recuperación de regiones alteradas con mayor calidad
4. Robusto a los procesos que conservan el contenido. (compresión, ruido aditivo)
5. Inserción y extracción de marca de agua se realizan en el dominio de frecuencia.

# Ejemplos



**Imagen original**

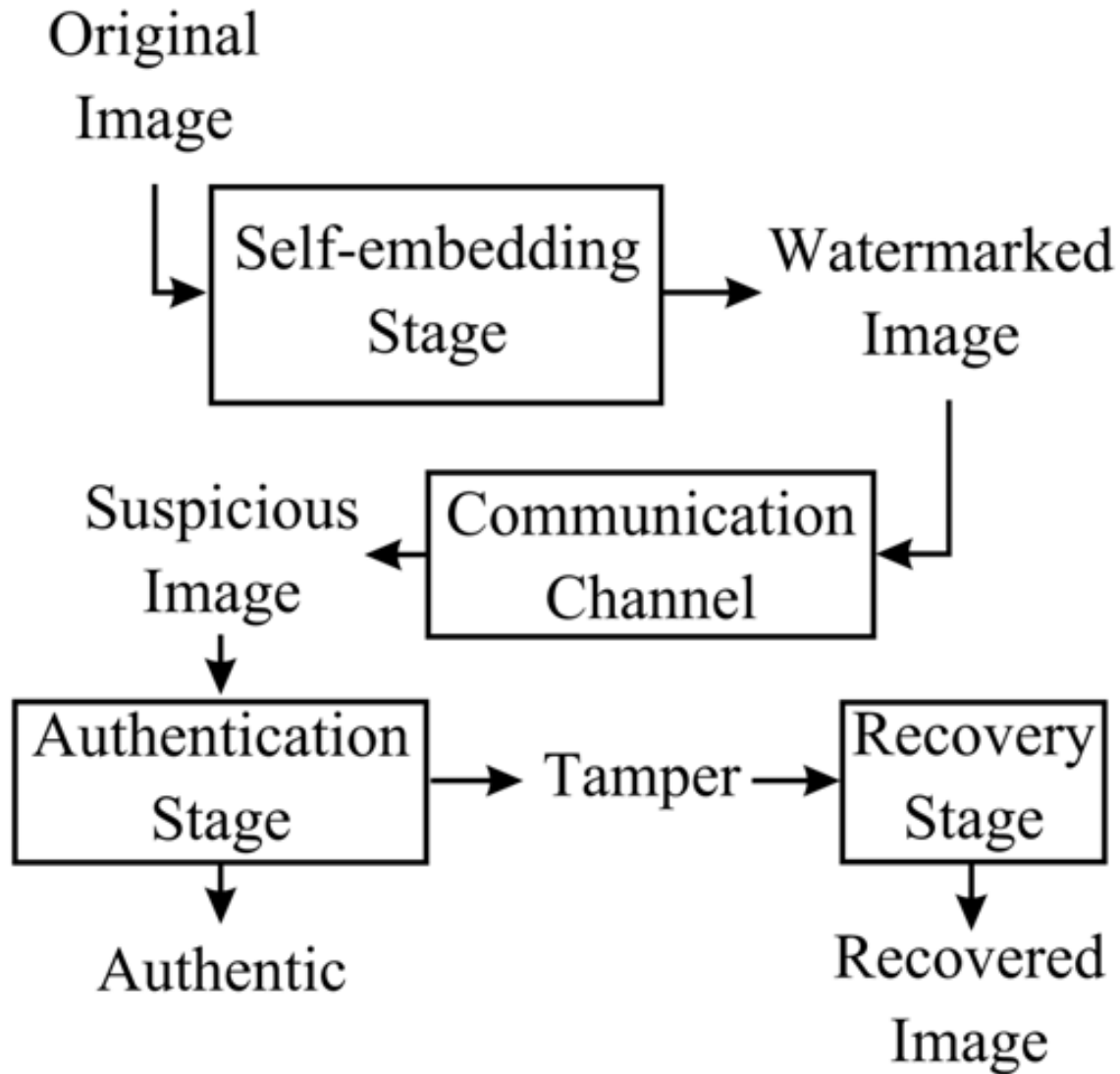


**Imagen alterada**

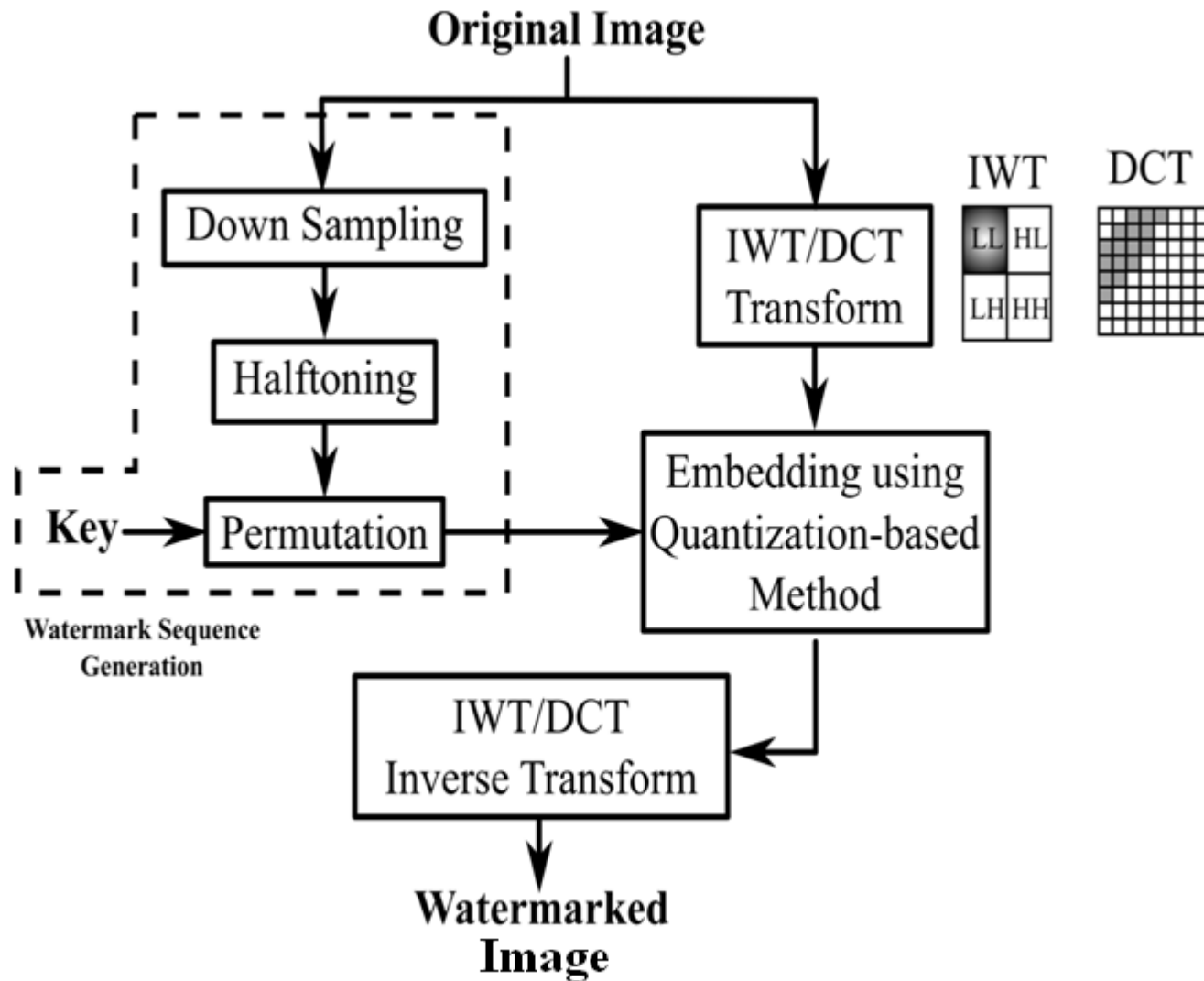


**Imagen recuperada**

# Esquema global

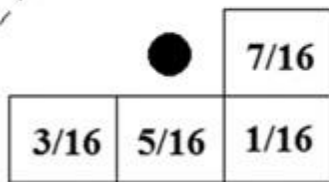
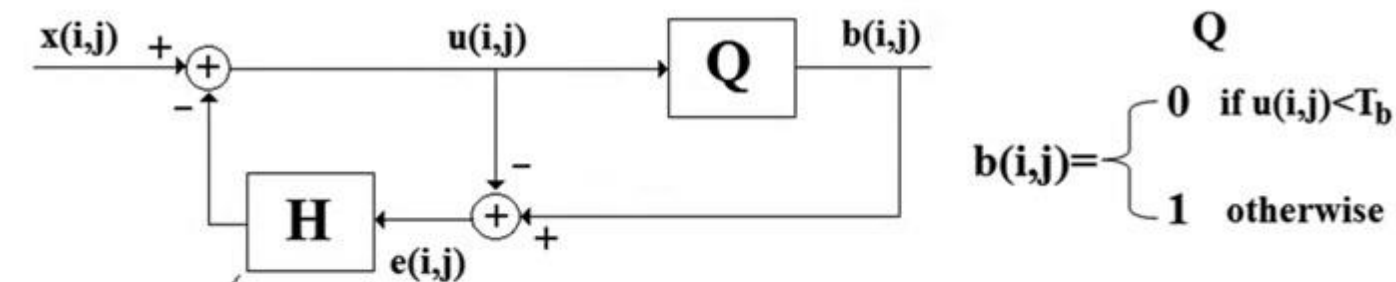


# Inserción de marca de agua



# Generación de la marca de agua

Marca de agua es una versión *halftone* de la imagen original



Filtro de Floyd-Steinburg



Imagen original (escala de grises) 8 bits

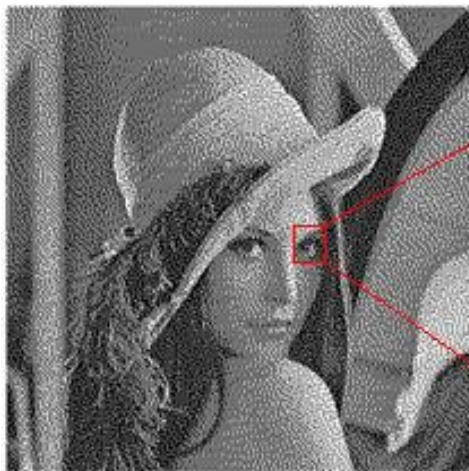


Imagen halftone (binaria) 1 bit

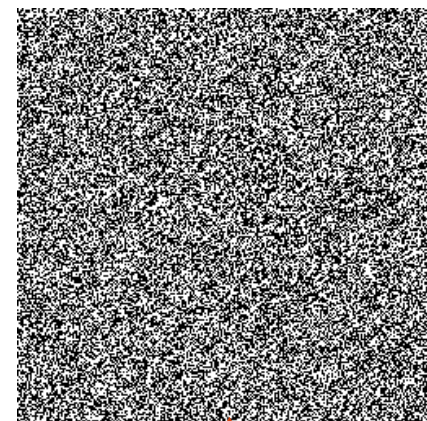
# Generación de marca de agua

## Imagen halftone

Imagen binaria, pero tiene una apariencia de imagen con escala de grises.



**Imagen Halftone**



Marca de agua (binaria)



**Permutación**  
*(llave secreta)*

# Algoritmo de inserción

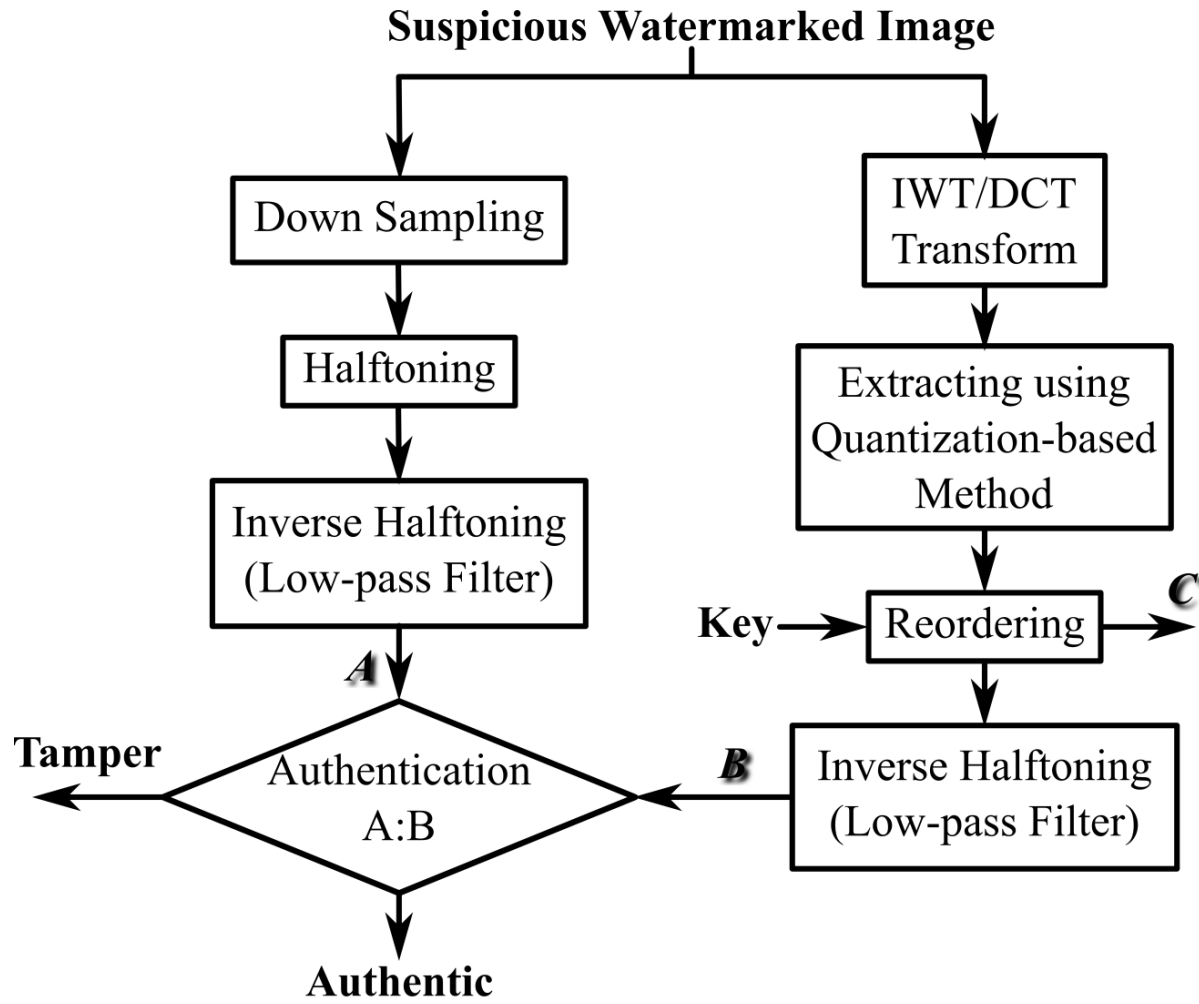
- El algoritmo de inserción de marca de agua está basado en el método de Cuantificación

$$\tilde{c}_n = \begin{cases} v_1 & \text{if } |c_n - v_1| \leq |c_n - v_2| \\ v_2 & \text{otherwise} \end{cases}$$

$$v_1 = \begin{cases} \text{sgn}(c_n) \times \left\lfloor \frac{|c_n|}{2S} \right\rfloor \times 2S, & \text{if } w_n = 0 \\ \text{sgn}(c_n) \times \left( \left\lfloor \frac{|c_n|}{2S} \right\rfloor \times 2S + S \right), & \text{if } w_n = 1 \end{cases}, \quad n = 1..N$$

$$v_2 = v_1 + \text{sgn}(c_n) \times 2S$$

# Detección de regiones alteradas



# Detección de regiones alteradas

Extracción de marca de agua

$$\tilde{w}_n = \begin{cases} 0 & \text{if } \text{round}\left(\frac{\hat{c}_n}{S}\right) = \text{even} \\ 1 & \text{if } \text{round}\left(\frac{\hat{c}_n}{S}\right) = \text{odd} \end{cases}, n = 1..N$$

Halftoning Inversa --- Filtro pasa baja

$$F_G = \frac{1}{11.566} \begin{bmatrix} 0.1628 & 0.3215 & 0.4035 & 0.3215 & 0.1628 \\ 0.3215 & 0.6352 & 0.7970 & 0.6352 & 0.3215 \\ 0.4035 & 0.7970 & 1 & 0.7970 & 0.4035 \\ 0.3215 & 0.6352 & 0.7970 & 0.6352 & 0.3215 \\ 0.1628 & 0.3215 & 0.4035 & 0.3215 & 0.1628 \end{bmatrix}$$

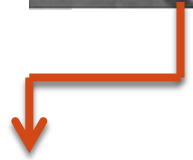
**Imagen de entrada**



**Imagen original**



**Halftoning**



**Extracción de  
marca de agua**



**Esta comparación produce grandes errores debido a que las dos imágenes son binarias**

# Detección de regiones alteradas

- Aplicar halftoning inversa a ambas imágenes para la comparación perceptiva.
- Comparación por bloques (64 x 64)

**A**



**B**



Comparación

# Detección de regiones alteradas

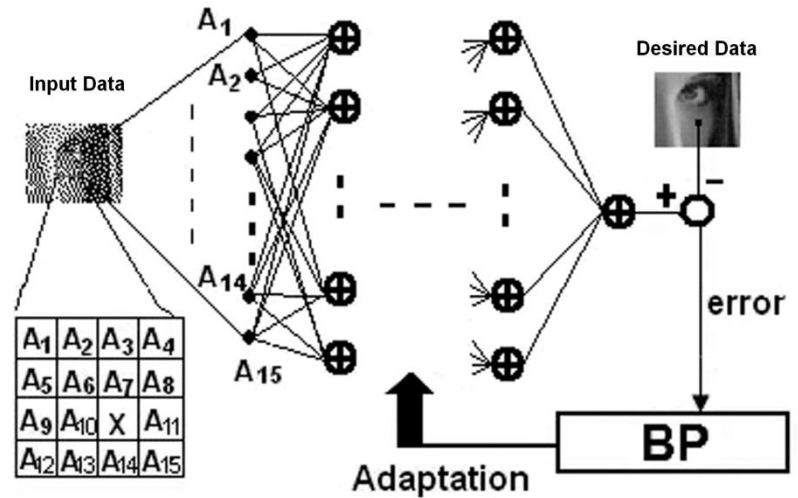
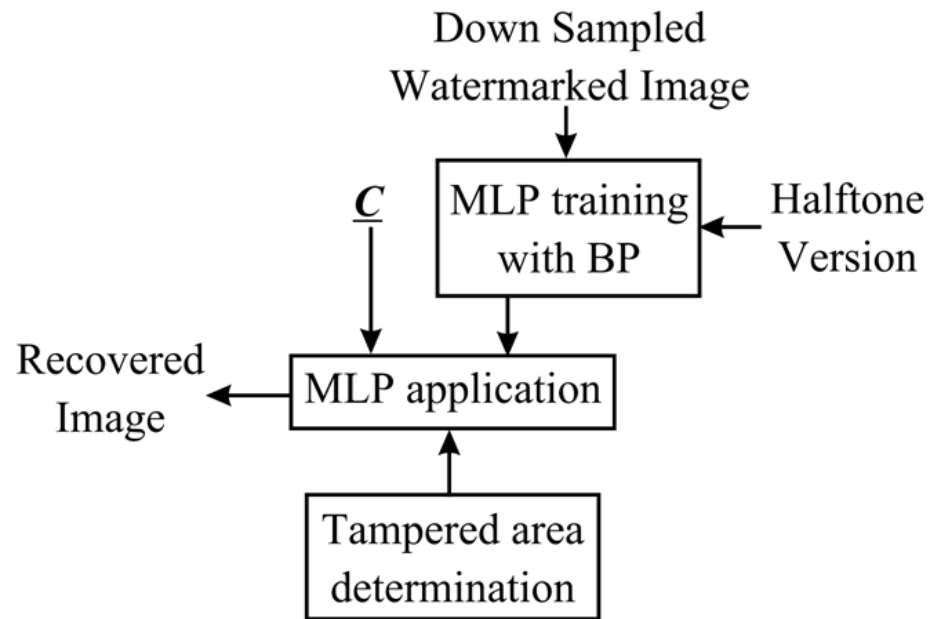
Aplicando siguiente criterio de diferencia a cada bloque, obtiene bloques alterados.

$$\begin{cases} SSIM_k(A_k, B_k) \leq Th & k\text{-th block is tampered} \\ SSIM_k(A_k, B_k) > Th & k\text{-th block is authentic} \end{cases}$$

$$SSIM_k(A_k, B_k) = [l(A_k, B_k)]^\alpha [c(A_k, B_k)]^\beta [s(A_k, B_k)]^\gamma \quad k = 1..K$$



# Recuperación



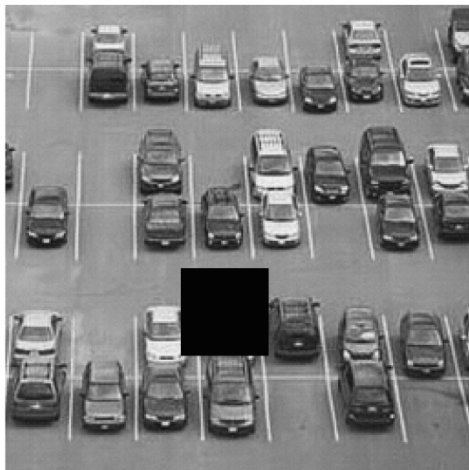
**Perceptron Multicapas  
(MLP)**

# Recuperación

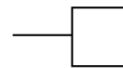
**Halftone Version**



**Down-Samples Watermarked Image**



**4x4 neighborhood  
template**



**Input data**

**Connection weight  
adaptation by BP**

**Extracted Halftone Image 'C'**



**Trained MLP NN**



**Output gray-scale Image**

**Pixel value of 'X'**

**Desired data**

# Resultados: imperceptibilidad

Algorithms / S	6	7	8	9	10	11	12	13	14
<i>WIA-IWT</i>	39.58	38.25	37.10	36.13	35.18	34.40	33.60	32.98	32.23
<i>WIA-DCT</i>	41.54	40.12	38.87	37.80	36.73	35.81	35.03	34.36	33.74



**Original**



**Imagen marcada PSNR=37.1dB**

# Robustez

## Compresión JPEG error de falsa alarma

	without attack			80			70			65			60		
<b>Th</b>	0.3	0.4	0.5	0.3	0.4	0.5	0.3	0.4	0.5	0.3	0.4	0.5	0.3	0.4	0.5
<b>(%)</b>	0	0	0	0	0	0	0	0	0	0	0.02	0.09	0.03	0.4	4.6

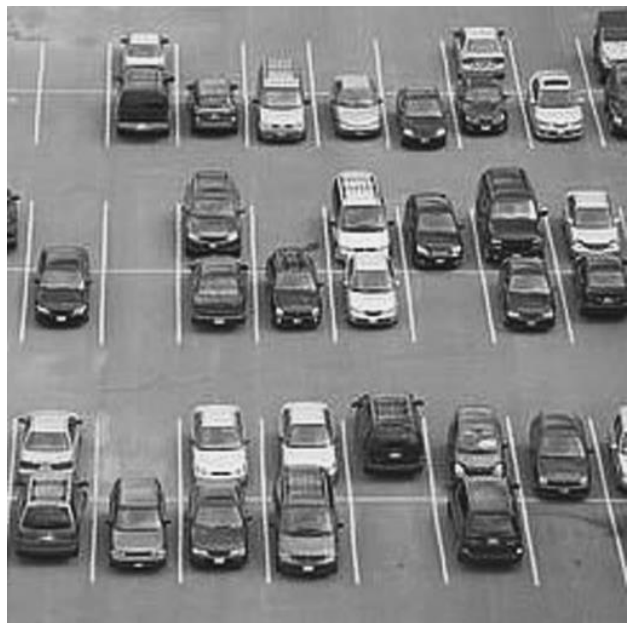
## Error de falsa negativa

<b>Th</b>	<b>0.3</b>	<b>0.4</b>	<b>0.5</b>
<b>(%)</b>	0.0026	$4.76 \times 10^{-5}$	$9.52 \times 10^{-6}$

# Resultados

- (1) Imagen Original**
- (2) Imagen Alterada**
- (3) Imagen con bloques alterados detectados**
- (4) Imagen Recuperada**

(1)



(2)



(3)



(4)



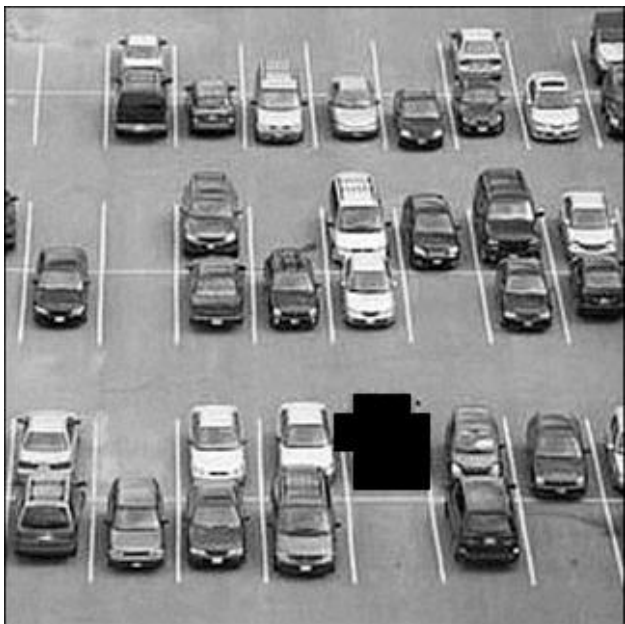
(1)



(2)



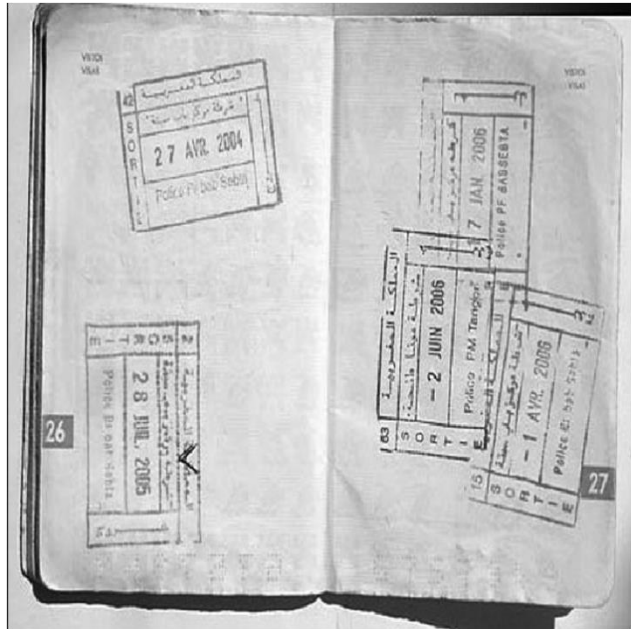
(3)



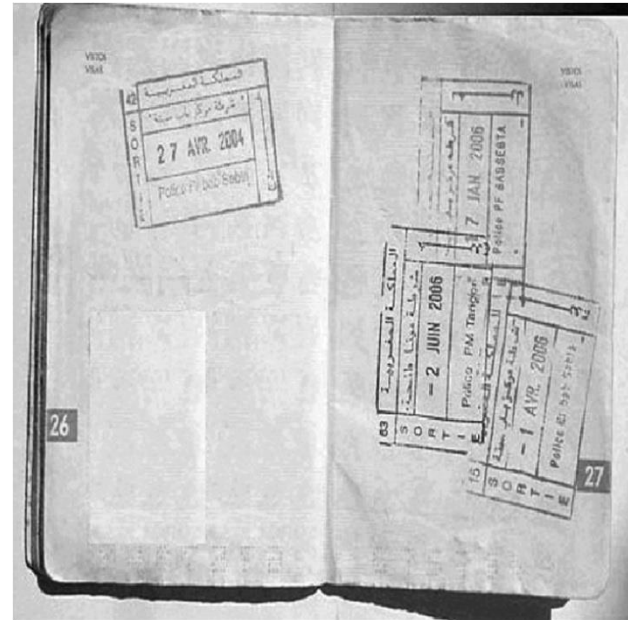
(4)



(1)



(2)



(3)



(4)



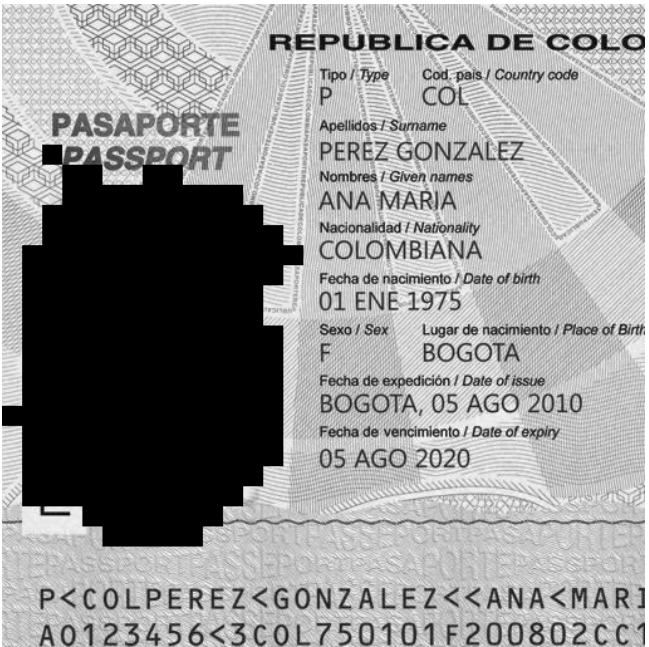
(1)



(2)



(3)



(4)



(1)



(2)



(3)



(4)



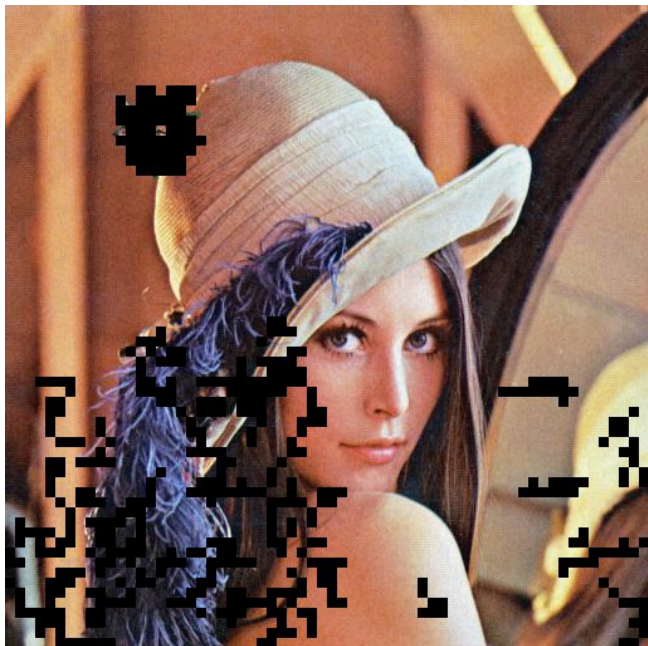
(1)



(2)



(3)



(4)



(1)



(2)



(3)



(4)

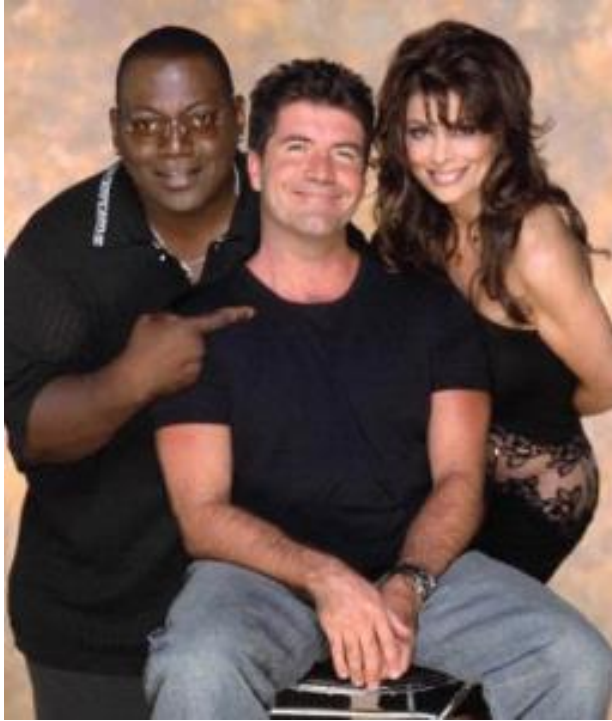


# Propuesta 2 :Marca de agua semi-frágil usando compresión SPIHT y detección de rostro

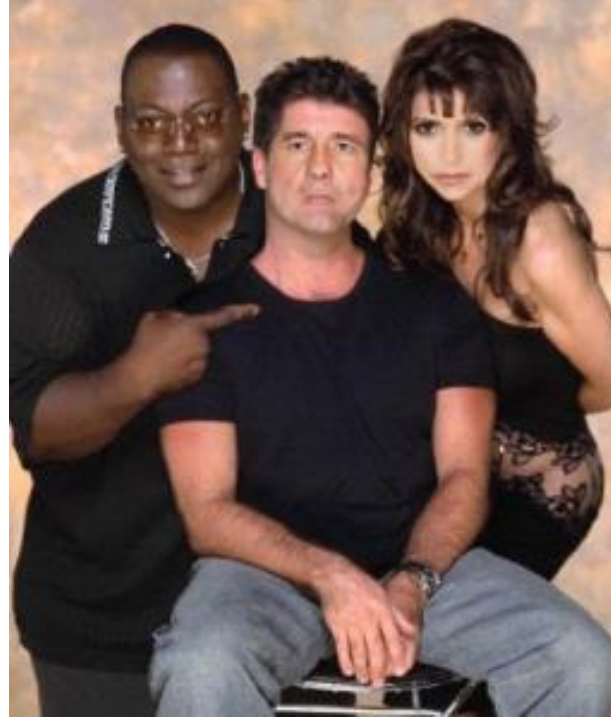
## Características

1. Introducción de concepto ROI (región de Interés)
2. Regiones de rostros se consideran como ROI
3. Uso de método de compresión SPIHT
4. Recuperación de regiones alteradas con mayor calidad
5. Robusto a los procesos que conservan el contenido. (compresión, ruido aditivo)
6. Inserción y extracción de marca de agua se realizan en el dominio de frecuencia.

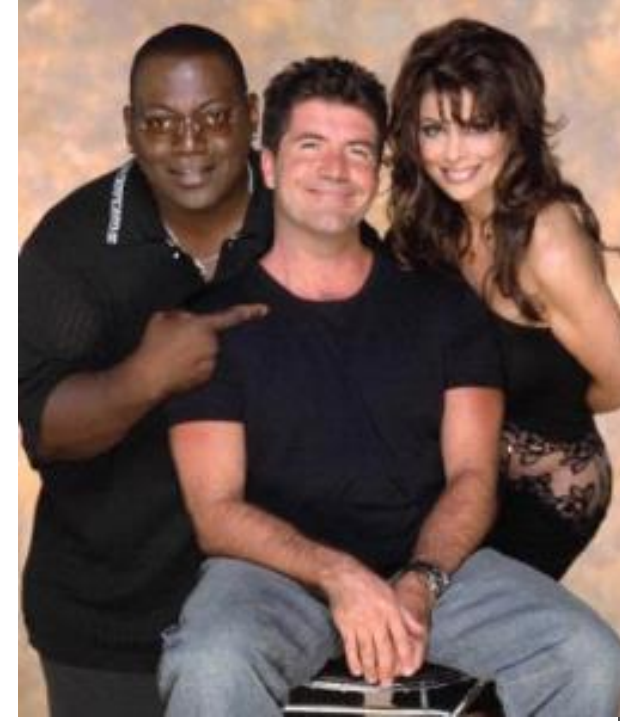
# Ejemplos



**Original**



**Alterada**



**Recuperada**

# Ideas principales

- Regiones de rostros de fotografías digitales son más alteradas.



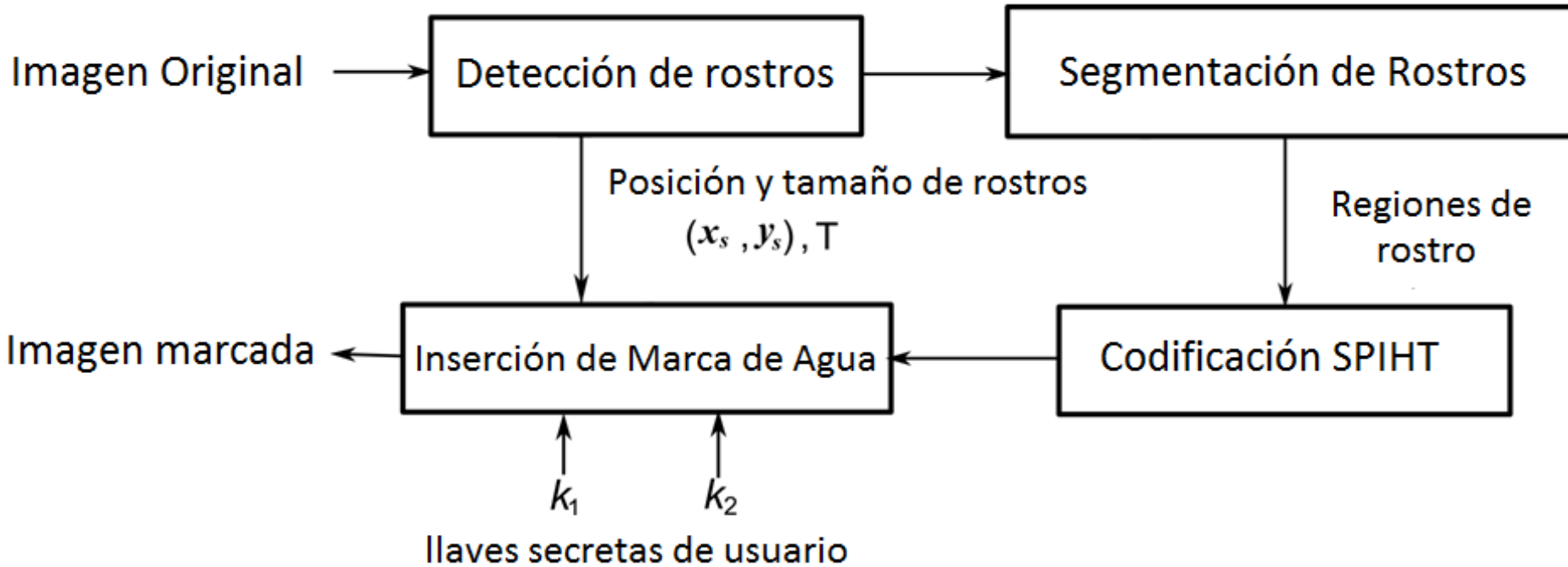
Regiones de Interés (ROI) = Regiones de rostros

- Detectar automáticamente regiones de rostro usando algoritmo de Viola & Jones.
- Codificar regiones de rostro detectadas usando algoritmo de compresión de imágenes SPHIT (Set Partitioning in Hierarchical Trees)
- Datos comprimidos por el SPHIT se inserta dentro de Regiones de fondo (ROB).

Etapa de protección

Etapa de autenticación &  
recuperación

# Etapa de protección



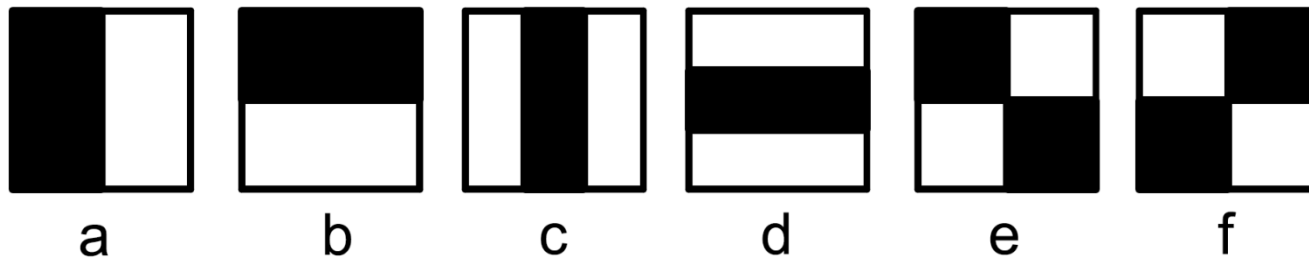
# Detección de Rostros

## Algoritmo de Viola & Jones

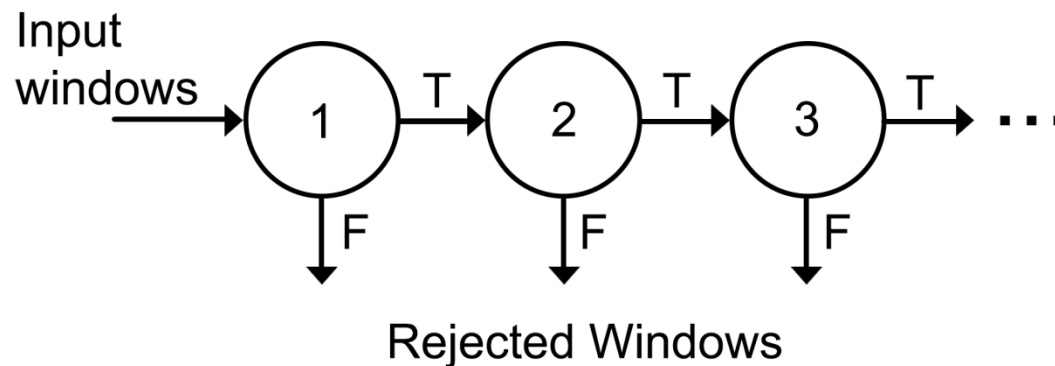
- **Bajo costo computacional**
- **Alta tasa de detección de rostro ( aprox. 70% )**
- Solo detecta rostro frontal. No detecta rostro lateral
- Sensible a cambio de iluminación
- No detecta rostros con siguientes condiciones
  - Rostros con baja contraste
  - Rostros rotados

# Algoritmo de Viola & Jones

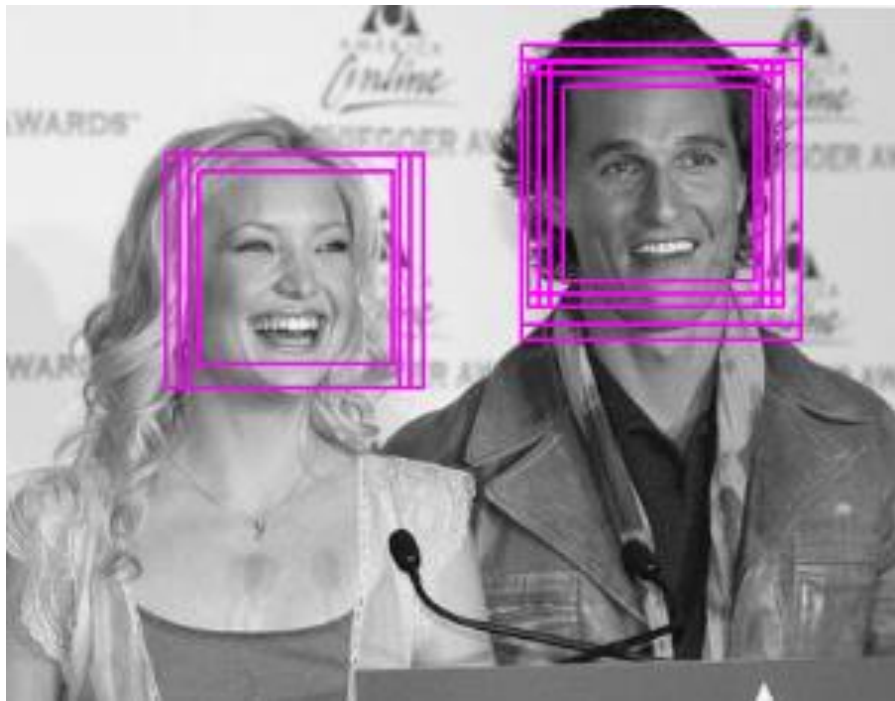
- Usando patrones sencillos, se realiza clasificación



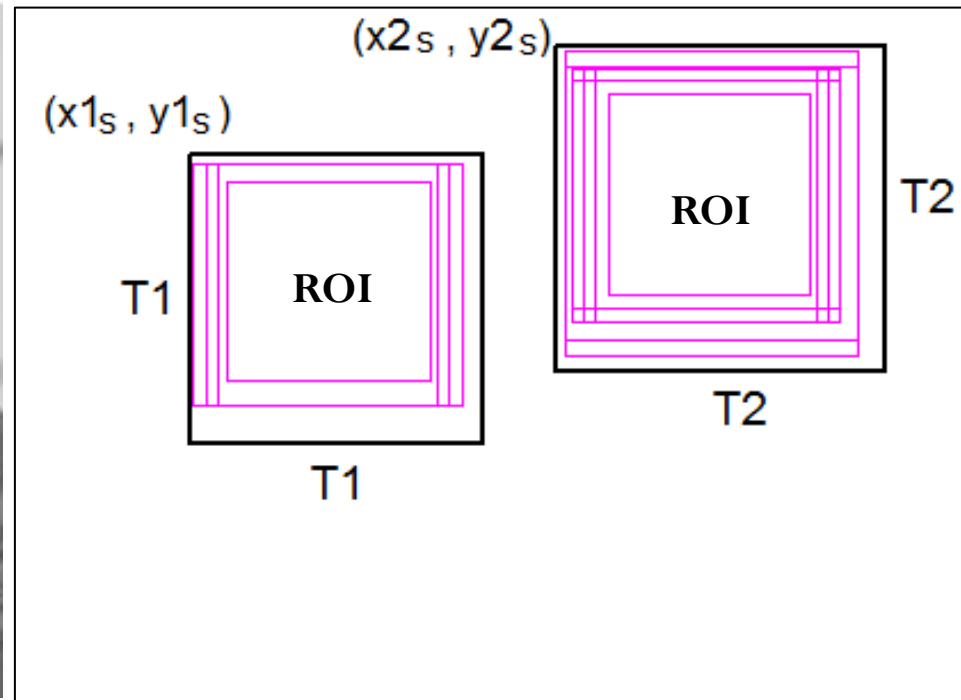
- Toma de decisión en forma cascada



# Ajuste de ROI



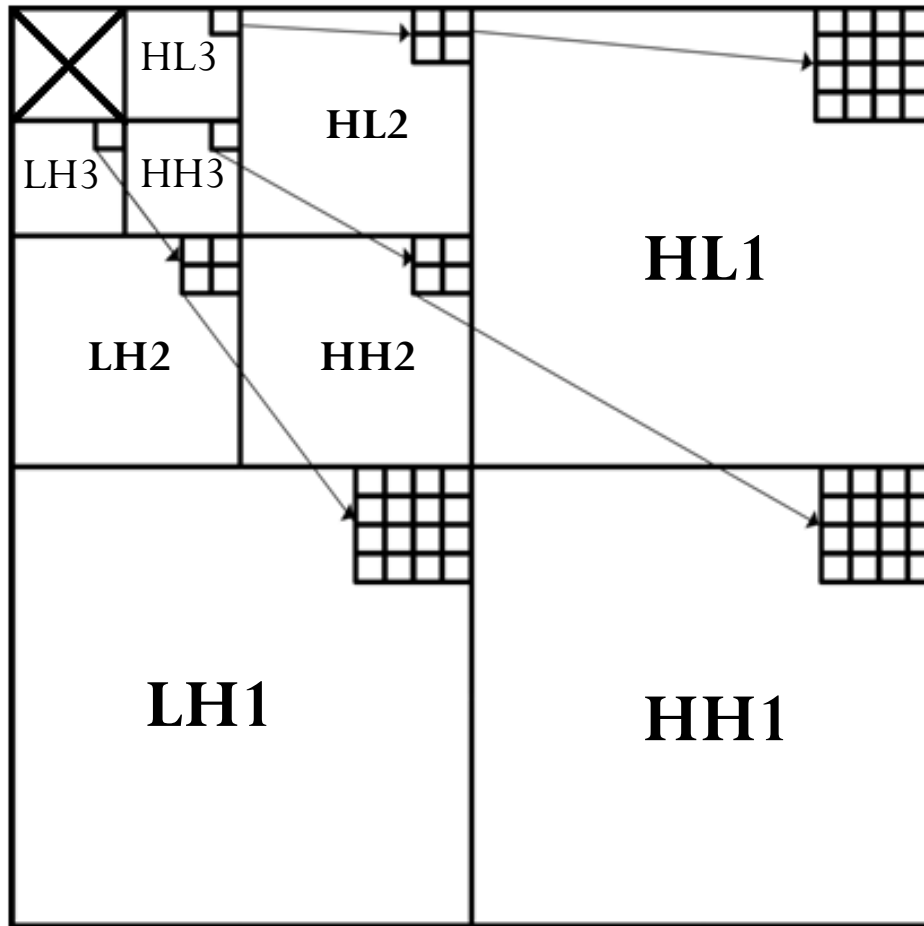
**Detección de regiones de rostro**  
**Varios candidatos**



**Ajuste de ROIs**

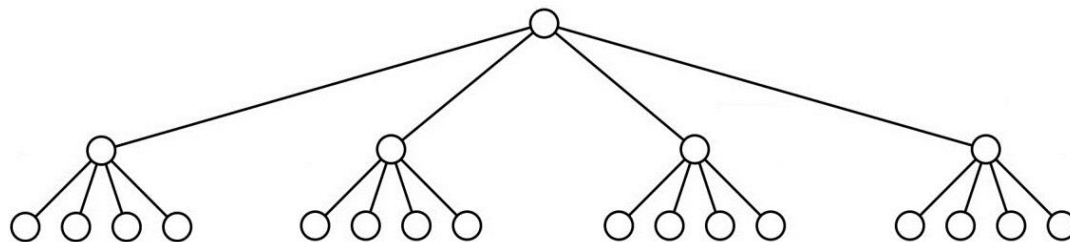
# Codificación de ROIs usando SPIHT

- Set Partitioing in Hierarchical Trees (SPIHT) es un algoritmo de compresión de imágenes basado en Transformada Discreta de Wavelets (DWT)
- SPIHT aprovecha fuerte relación entre sub-bandas de diferentes niveles de DWT.
- Mejor calidad de imagen decodificada comparando con el algoritmo de JPEG.
- Puede controlar el número de bits de secuencia codificada.

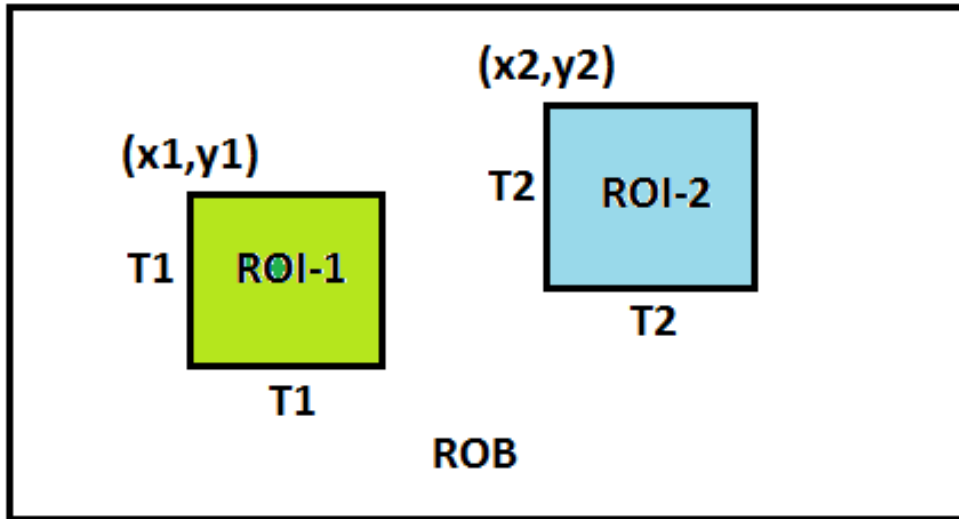


**Descomposición de Wavelet**

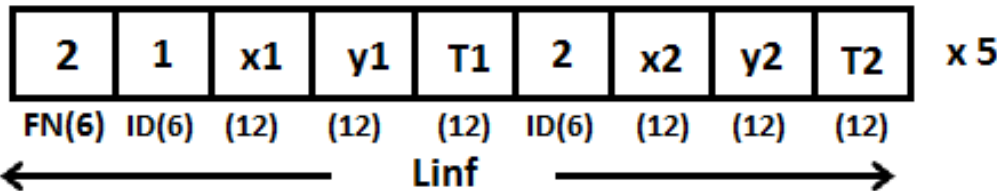
**Quadotree**



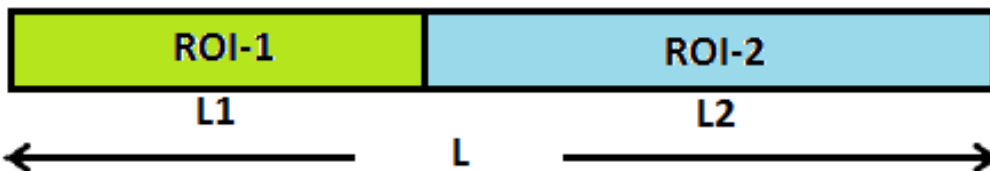
# Secuencia de marca de agua



Secuencia de bits (información de ROI)



Secuencia de bits (ROIs codificados)



$$L = N_b(ROB) - L_{inf} \times 5$$

$$L = L1 + L2$$

$$L1:L2 = T1:T2$$



$$L1 = \frac{T1 \times L}{T1 + T2} \quad L2 = \frac{T2 \times L}{T1 + T2}$$

# Inserción de marca de agua

1. Dividir ROB en bloques de 8x8 pixeles .
2. Aplica DCT-2D a cada bloque ROB.
3. Dos secuencias de marca de agua se inserta en los coeficientes de baja frecuencias.

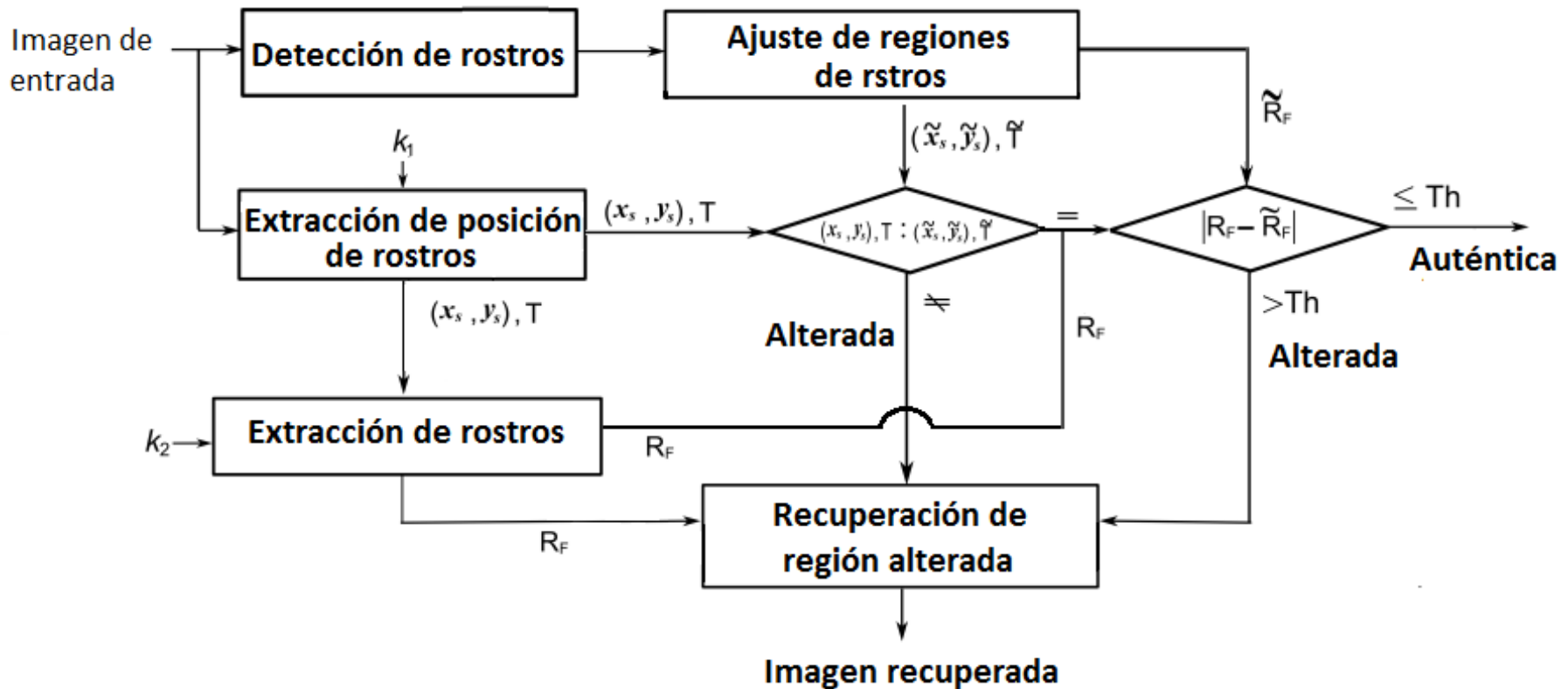
**Coeficientes de baja frecuencias**

	1	5	6				
2	4	7	12				
3	8	11					
9	10						

$$cw_n = Q(c_n + d(n, m_n), \Delta) - d(n, m_n), \quad n = 1, 2, \dots, L$$

$$d(n, 1) = \begin{cases} d(n, 0) + \frac{\Delta}{2}, & d(n, 0) < 0 \\ d(n, 0) - \frac{\Delta}{2}, & d(n, 0) > 0 \end{cases}, \quad Q(x, \Delta) = \text{round}\left(\frac{x}{\Delta}\right)\Delta$$

# Etapa de Autenticación y Recuperación



# Extracción de secuencia de marca de agua

## Secuencia de marca de agua

- Información de ROIs  
(posición y tamaño)
- Rostros codificados

$$w_n = \arg_{l \in \{0,1\}} \min (r_n - S_r(n, l))^2$$

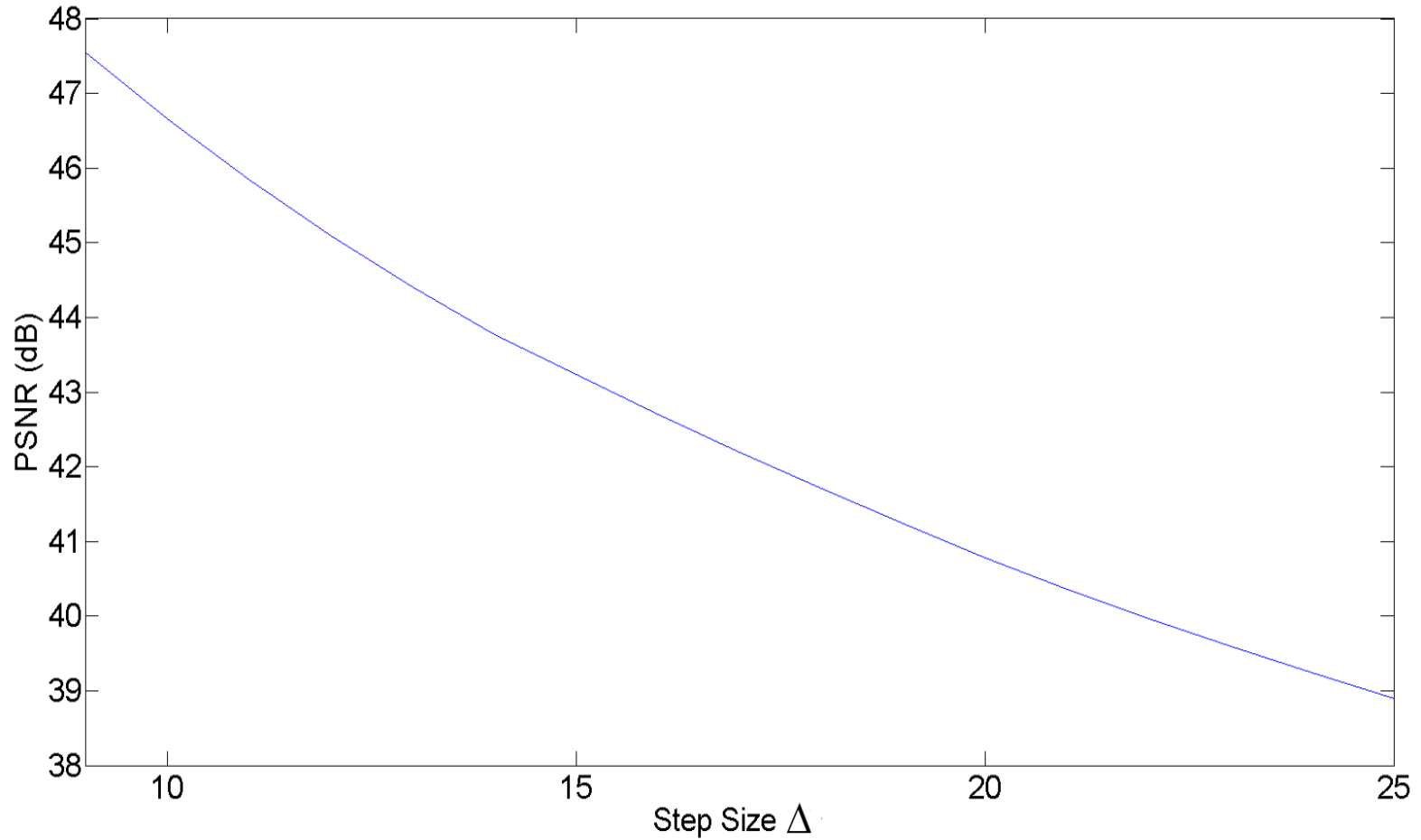
$$S_r(n, 0) = Q(r_n + d(n, 0), \Delta) - d(n, 0)$$

$$S_r(n, 1) = Q(r_n + d(n, 1), \Delta) - d(n, 0)$$

$r_n$ : n-ésimo coeficiente de DCT

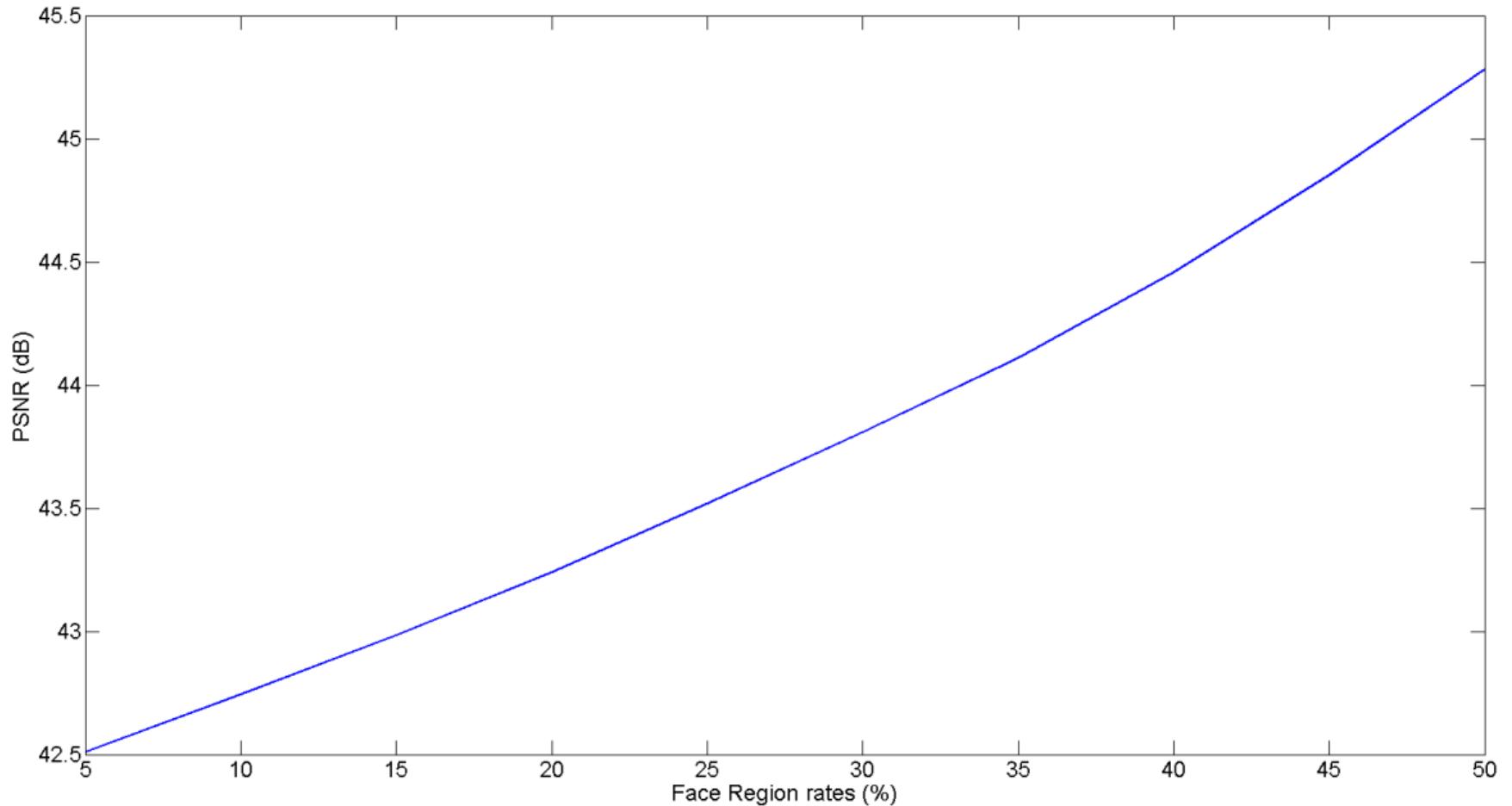
# Imperceptibilidad de marca de agua

## PSNR: Tamaño de Paso $\Delta$



# Imperceptibilidad de marca de agua

## PSNR: Tamaño de Rostro





46.69 dB



46.71 dB

**Original**

**Marcada**



**Original**



**Marcada: 45.55 dB**

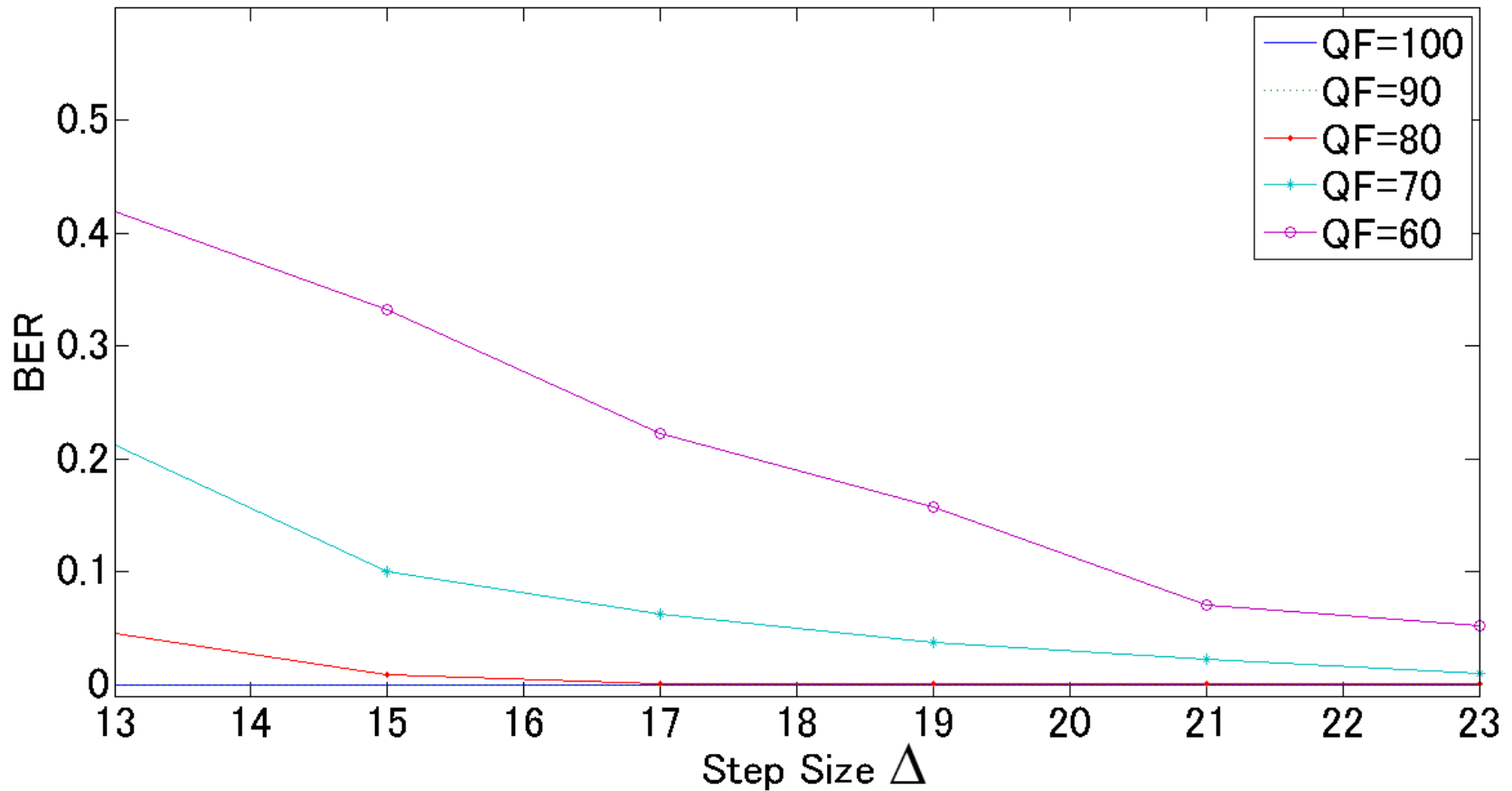


**Original**



**Marcada: 45.55 dB**

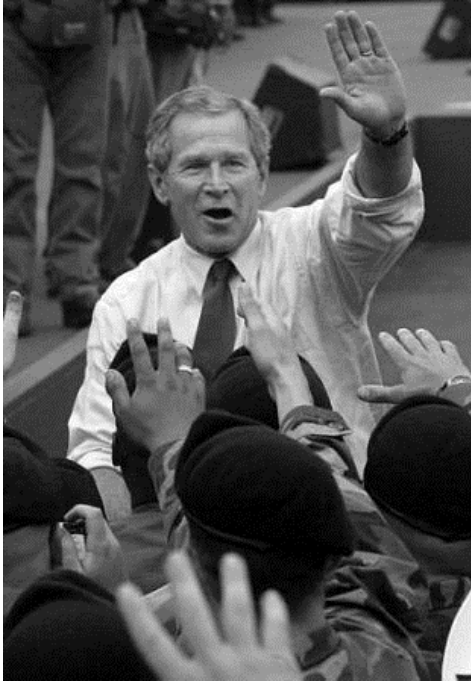
# Robustez contra compresión JPEG



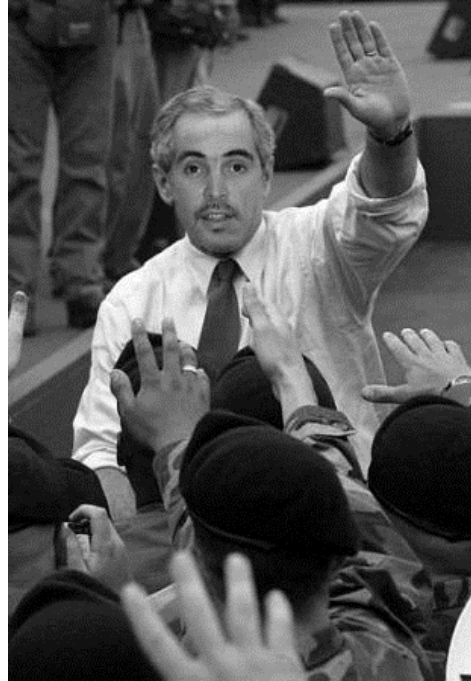
# Calidad de imágenes recuperadas

<b>Tamaño de rostro (%)</b>	<b>&lt;5%</b>	<b>5-15%</b>	<b>15-25%</b>	<b>&gt;25%</b>
Imagen completa	55.09dB	45.60dB	42.92dB	32.84dB
Región de rostros	42.78dB	38.83dB	35.45dB	28.15dB

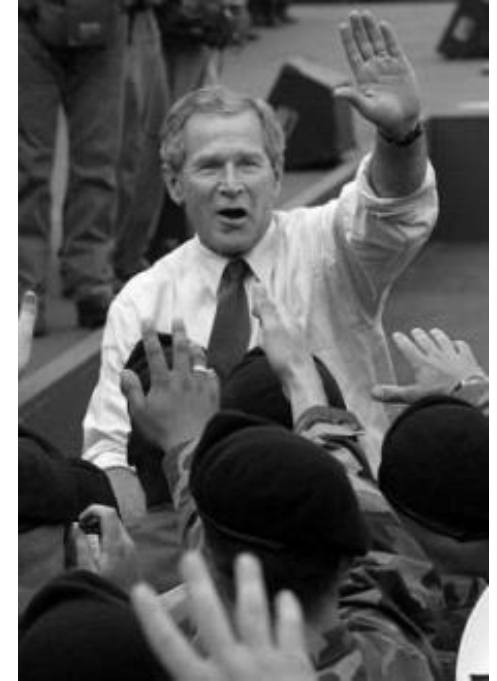
# Ejemplos



**Original**



**Alterada**



**Recuperada**

**PSNR=51.30 dB**



**Original**



**Alterada**



**Recuperada**

**PSNR=71 dB**



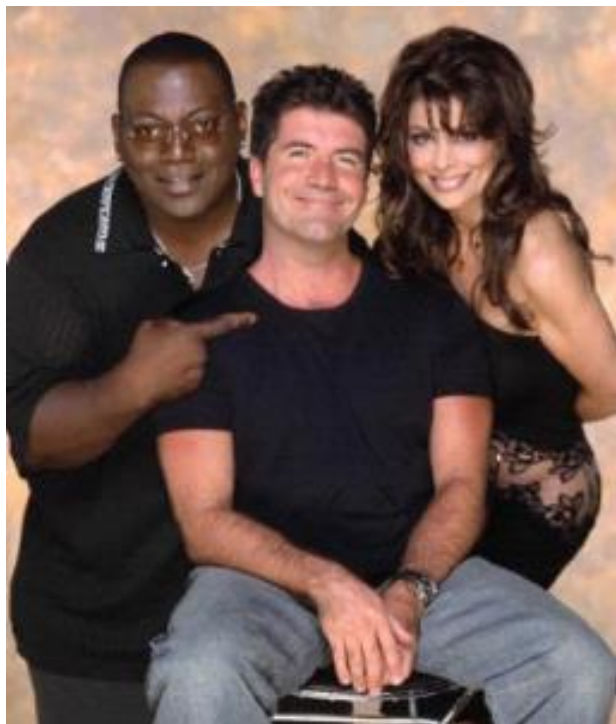
**Original**



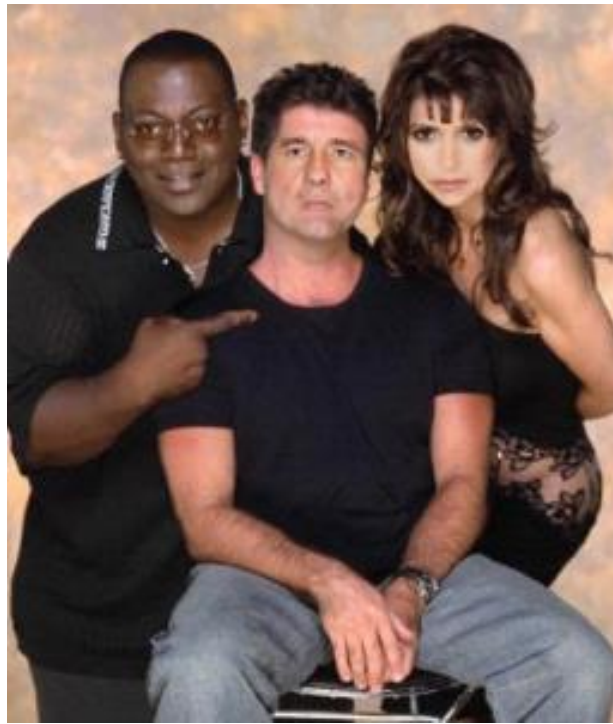
**Alterada**



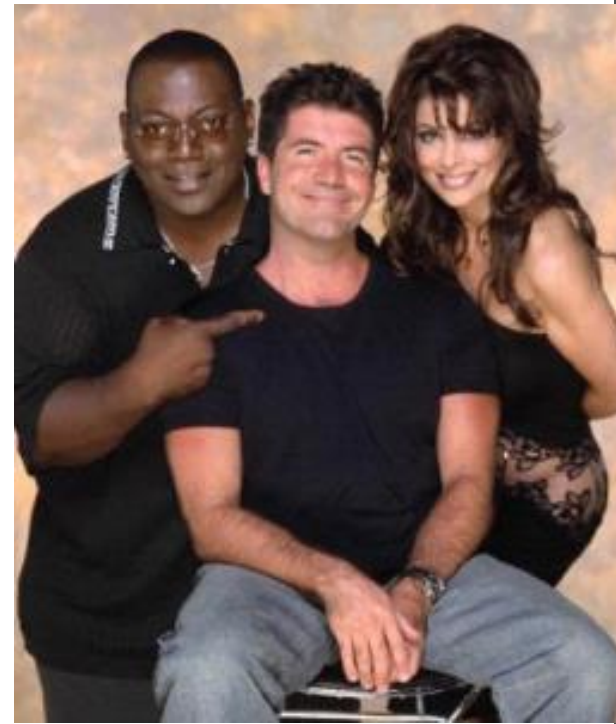
**Recuperada**  
**PSNR=43.93 dB**



**Original**



**Alterada**



**Recuperada**  
**PSNR=47.09dB**



**Original**



**Alterada**

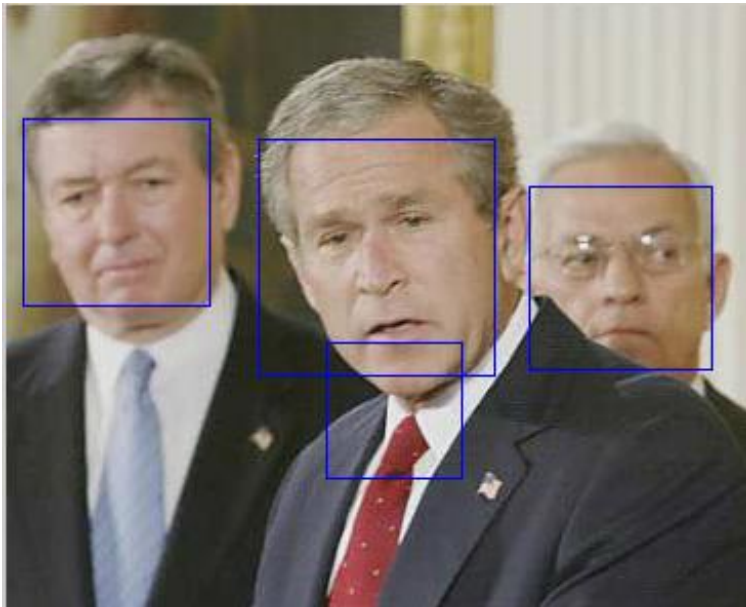


**Recuperada**  
**PSNR=41.87 dB**

# Limitaciones

- Limitación de algoritmo de detección de rostro

(Algoritmo de Viola & Jones)



# Limitaciones

- Tamaño de rostro es demasiado grande que el algoritmo no detecta rostro.



- Tamaño de rostro es demasiado grande que no se puede codificar.



..... Gracias .....